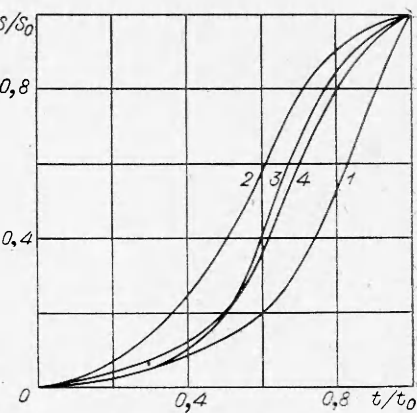


Время полного раскрытия для «шарнирной» модели в предположении постоянного действующего давления можно записать в виде

$$t_0 = \left( \frac{\pi}{4} \right)^{1/2} \left( \frac{2L\rho\delta}{p} \right)^{1/2}.$$

С учетом реально действующего на диафрагму давления в работах [1, 2] получены в аналогичных выражениях численные коэффициенты 0,91 и 0,95 соответственно. Модель свободно-сочлененной цепи дает для времени полного раскрытия значение в  $\sim 1,5$  раза меньше, чем «шарнирная» модель.

На фиг. 3 показана относительная величина проходного сечения на различных стадиях процесса раскрытия диафрагмы, рассчитанная для «шарнирной» модели и свободно-сочлененной цепи (1 — модель «шарнирного» раскрытия, 2 — неупругое раскрытие, 3 — экспериментальная зависимость для толстой диафрагмы из меди, 4 — эксперимент [3]).



Фиг. 3

Поступила 31 XII 1975

## ЛИТЕРАТУРА

1. Simpson C. I. M., Chandler T. R. D., Bridgeman K. B. Effect on shock trajectory of the opening time of diaphragms in a shock tube.— «Phys. Fluids», 1967, vol. 10, № 8.
2. Дунцова Ж. С., Ершов И. В., Киреев В. Т., Рузовин Е. И. Расчет движения ударной волны и параметров потока при немгновенном открытии диафрагмы в ударной трубе.— «Изв. АН СССР. МЖГ», 1966, № 4.
3. Rothkopf, Low W. Diaphragm opening process in shock tubes.— «Phys. Fluids», 1974, vol. 17, № 6.
4. Вакатов В. П., Карасев А. Б., Малявин В. П., Ткаченко Б. К. Исследования на электроразрядной ударной трубе.— «Журн. приклад. спектроскопии», 1971, т. 15, № 6.
5. Ландау Л. Д., Лифшиц Е. М. Механика. М., «Наука», 1973.

УДК 532.529.6.

НЕСТАЦИОНАРНЫЙ ТЕПЛОМАССООБМЕН  
ОКОЛО СФЕРИЧЕСКОЙ ЧАСТИЦЫ

Р. И. Нигматулин, И. Х. Рахматулина

(Москва)

**1. Постановка задачи и основные уравнения.** Рассматривается сферически-симметричная задача, когда фазовые переходы происходят только по поверхности частицы, а возникающие при этом массовые скорости в газе во много раз меньше скорости звука. В этом случае имеет смысл использовать условие однородности давления по пространству (соответствующее обоснование имеется в [1]). Газ, окружающий каплю или частицу, однокомпонентный и является паром вещества капли или частицы (в системе нет диффузии). Пусть частица не сжимаема, в ней отсутствует движение,

но имеется теплопроводность. Газ или пар будем считать совершенным газом. Система уравнений, описывающая данный процесс, имеет вид

$$(1.1) \quad r > r_\sigma, p = p(t), p = \rho RT;$$

$$(1.2) \quad \frac{\partial \rho}{\partial t} + \frac{1}{r^2} \frac{\partial}{\partial r} (r^2 \rho v) = 0;$$

$$(1.3) \quad \rho \frac{\partial c_V T}{\partial t} = \frac{1}{r^2} \frac{\partial}{\partial r} \left( r^2 \lambda_1 \frac{\partial T}{\partial r} \right) - \rho v \frac{\partial c_V T}{\partial r} - \frac{p}{r^2} \frac{\partial}{\partial r} (r^2 v);$$

$$(1.4) \quad r < r_\sigma, \rho_2 = \frac{\partial c_s T}{\partial t} = \frac{1}{r^2} \left( r^2 \lambda_2 \frac{\partial T}{\partial r} \right), \rho_2 = \text{const},$$

где  $\rho$  — плотность;  $T$  — температура;  $p$  — давление;  $v$  — скорость;  $R$  — газовая постоянная;  $\lambda$  — коэффициент теплопроводности;  $r$  — радиус;  $t$  — время. Индексы 1 и 2 соответствуют значениям параметров в паре и в частице, а индекс  $\sigma$  — на поверхности частицы.

Первое из соотношений (1.1) есть условие однородности давления по пространству, являющееся следствием уравнения импульса в пренебрежении силами инерции, (1.2) — уравнение неразрывности в газовой фазе, (1.3), (1.4) — уравнения притоков тепла соответственно в паре и частице.

Из (1.1) — (1.3) можно получить соотношение

$$(1.5) \quad \frac{\gamma p}{r^2} \frac{\partial}{\partial r} (r^2 v) = \frac{\gamma - 1}{r^2} \frac{\partial}{\partial r} \left( r^2 \lambda_1 \frac{\partial T}{\partial r} \right) - \frac{dp}{dt}.$$

Проинтегрировав (1.5) по координате с учетом, что  $p$  и  $dp/dt$  — функции только времени, получим

$$(1.6) \quad v = \frac{r_\sigma^2}{r^3} v_{1\sigma} + \frac{\gamma - 1}{\gamma p} \left[ \lambda_1 \frac{\partial T}{\partial r} - \frac{r_\sigma^2}{r^2} \lambda_{1\sigma} \left( \frac{\partial T}{\partial r} \right)_{1\sigma} \right] - \frac{r^3 - r_\sigma^3}{3r^2 \gamma p} \frac{dp}{dt}.$$

Таким образом, в рамках однородной по давлению модели распределение скорости в паре в каждый момент времени однозначно задается распределением температур в нем и значениями скоростей на двух радиусах. Одно из значений скорости может быть взято на поверхности частицы, другое значение определяет  $dp/dt$ .

В качестве начальных условий выберем

$$(1.7) \quad t = 0, r > r_{\sigma 0}, T = T_{10}, p = p_0, r < r_{\sigma 0}, T = T_{20},$$

где индекс 0 соответствует начальному состоянию системы.

Границные условия на поверхности частицы или капли имеют вид

$$(1.8) \quad \begin{aligned} r = r_\sigma, \rho_{1\sigma} (v_{1\sigma} - dr_\sigma/dt) = j, & j = -\rho_2 (dr_\sigma/dt), \\ \lambda_{2\sigma} (\partial T/\partial r)_{2\sigma} = \lambda_{1\sigma} (\partial T/\partial r)_{1\sigma} - l, & T_{1\sigma} = T_{2\sigma} = T_S(p), \end{aligned}$$

где  $j$  — интенсивность фазовых переходов, отнесенная к единице поверхности и времени;  $l$  — теплота парообразования; последнее из условий (1.8) — условие фазового равновесия на поверхности частицы. Во всем остальном объеме это равновесие может отсутствовать ( $T \neq T_S(p)$ ). При очень быстрых взрывных процессах может не выполняться фазовое равновесие и на поверхности частицы, когда фазовые переходы на ней не успевают следить за изменением давления. В этом случае необходимо привлечь кинетическое соотношение

$$(1.9) \quad j \sim F[T_{1\sigma} - T_S(p)].$$

При  $F \rightarrow \infty$  конечность  $j$  обеспечивается при принятых в (1.8) условиях равновесия  $T_{1\sigma} \rightarrow T_S(p)$ .

Если на межфазовой поверхности нет фазовых переходов, граничные условия на ней упрощаются

$$r = r_\sigma, v_{1\sigma} = 0, \lambda_{1\sigma} \left( \frac{\partial T}{\partial r} \right)_{1\sigma} = \lambda_{2\sigma} \left( \frac{\partial T}{\partial r} \right)_{2\sigma}, T_{1\sigma} = T_{2\sigma}.$$

Другое граничное условие следует задавать на внешней границе системы (в паре). Рассмотрим случай, когда частица помещена в центр сферического объема, заполненного паром, радиуса  $r_c$  с приведенными ниже граничными условиями и следующим из них выражением для скорости изменения давления

$$(1.10) \quad \begin{aligned} r \leq r_c, \frac{\partial T}{\partial r} &= 0, \rho v = 0, \\ \frac{dp}{dt} &= \frac{3r_\sigma^2}{r_c^3 - r_\sigma^3} \left[ \gamma p v_{1\sigma} - (\gamma - 1) \lambda_{1\sigma} \left( \frac{\partial T}{\partial r} \right)_{1\sigma} \right]. \end{aligned}$$

Эти условия соответствуют однородной «ячеичной» модели дисперсной смеси, согласно которой каждой частице радиуса  $r_{\sigma 0}$  соответствует сферический объем радиуса  $r_c$ , концентричный с частицей. Причем радиус ячейки  $r_c$  определяется или числом частиц в единице объема смеси  $n$ , или объемным содержанием частиц в системе  $\alpha_2$ , или массовым содержанием пара  $x_1$

$$n = \frac{3}{4\pi r_c^3}, \alpha_2 = \frac{r_{\sigma 0}^3}{r_c^3}, x_1 = \frac{(r_c^3 - r_{\sigma 0}^3)\rho_{10}}{(r_c^3 - r_{\sigma 0}^3)\rho_{10} + r_{\sigma 0}^3\rho_2}.$$

Предполагается, что возмущения, вносимые в пар каждой частицей, локализованы внутри соответствующей ей ячейки. Если предположить отсутствие изменения объема и энергии всей смеси, идентичность всех частиц и соответствующих им ячеек, а также отсутствие обмена массой и энергией между ними, то на границах ячеек получим условия (1.10). Если радиус ячейки устремить к бесконечности ( $r_c \rightarrow \infty, d_2 \rightarrow 0$ ) и на внешней границе поддерживать постоянные параметры, то давление в паре будет постоянно

$$(1.11) \quad r_c = \infty, T(t) = T_0, p(t) = p_0.$$

Граничные условия (1.11) соответствуют случаю, когда одиночная частица помещена в бесконечный объем и массу пара.

Таким образом, задача сводится к решению системы уравнений (1.1), (1.3), (1.4), (1.6) с граничными условиями (1.8), (1.10) или (1.11) и начальными условиями (1.7). Система замыкается заданием функций  $\lambda_1, c_V, \lambda_2, c_2$ . Поскольку в рассматриваемых интервалах температур эти функции меняются мало, будем считать, что  $\lambda_1$  — линейная функция температуры,  $\lambda_2, c_V, c_2$  — постоянные.

Введем следующие безразмерные параметры:

$$\begin{aligned} \xi &= r/r_{\sigma 0}, \xi_\sigma = r_\sigma/r_{\sigma 0}, \tau = \kappa_{10} t / r_{\sigma 0}^2, U = r_\sigma v / \kappa_{10}, \\ P &= p/p_0, \Theta_{20} = T_{20}/T_{10}, \Theta = T/T_{10}, \Theta_S = T_S/T_{10}, \\ \delta &= \rho/\rho_{10}, L = l/c_p T_{10}, \delta_2 = \rho_2/\rho_{10}, J = -\delta_2 d\xi_\sigma/d\tau, \\ \Lambda_1 &= \lambda_1/\lambda_{10}, \Lambda_2 = \lambda_2/\lambda_{10} (\kappa_{10} = \lambda_{10}/\rho_{10} c_p, \kappa_2 = \lambda_2/\rho_2 c_2), \end{aligned}$$

где  $\kappa_{10}$  и  $\kappa_2$  — коэффициенты температуропроводности газа и частицы.

Система уравнений, а также начальные и граничные условия в новых безразмерных переменных примут вид

$$(1.12) \quad \begin{aligned} \xi > \xi_\sigma, \quad P(\tau) = \delta\Theta, \\ \frac{\partial\Theta}{\partial\tau} &= \frac{1}{\xi^2\delta} \frac{\partial}{\partial\xi} \left( \xi^2 \Lambda_1 \frac{\partial\Theta}{\partial\xi} \right) - U \frac{\partial\Theta}{\partial\xi} + \frac{\gamma-1}{\gamma\delta} \frac{dP}{d\tau}, \\ U &= \frac{\xi_\sigma^2}{\xi^2} U_{1\sigma} + \frac{1}{P} \left[ \Lambda_1 \frac{\partial\Theta}{\partial\xi} - \frac{\xi_\sigma^2}{\xi^2} \Lambda_{1\sigma} \left( \frac{\partial\Theta}{\partial\xi} \right)_{1\sigma} \right] - \frac{\xi^3 - \xi_\sigma^3}{3\xi^2\gamma P} \frac{dP}{d\tau}; \end{aligned}$$

$$(1.13) \quad \xi < \xi_\sigma, \quad \frac{\partial\Theta}{\partial\tau} = \frac{\kappa_2}{\kappa_{10}} \frac{1}{\xi^2} \frac{\partial}{\partial\xi} \left( \xi^2 \frac{\partial\Theta}{\partial\xi} \right);$$

$$(1.14) \quad \tau = 0, \quad \Theta_1 = 1, \quad \Theta_2 = \Theta_{20}, \quad P = P_0 = 1;$$

$$(1.15) \quad \xi = 0, \quad \partial\Theta/\partial\xi = 0;$$

$$(1.16) \quad \delta_{1\sigma} \left( U_{1\sigma} - \frac{\partial\xi_\sigma}{\partial\tau} \right) = J, \quad \Theta_{1\sigma} = \Theta_{2\sigma} = \Theta_S(P),$$

$$\Lambda_2 \left( \frac{\partial\Theta}{\partial\xi} \right)_{2\sigma} = \Lambda_{1\sigma} \left( \frac{\partial\Theta}{\partial\xi} \right)_{1\sigma} - LJ;$$

$$(1.17) \quad \xi = \xi_c, \quad \partial\Theta/\partial\xi = 0, \quad \delta U = 0,$$

$$\frac{dP}{d\tau} = \frac{3\xi_\sigma^2\gamma}{\xi_c^3 - \xi_\sigma^3} \left[ PU_{1\sigma} - \Lambda_{1\sigma} \left( \frac{\partial\Theta}{\partial\xi} \right)_{1\sigma} \right].$$

Граничные условия (1.16) задаются на поверхности частицы, радиус которой  $r_\sigma(t)$  или  $\xi_\sigma(\tau)$  при наличии фазовых переходов изменяется во времени и должен определяться в ходе решения.

Для случая бесконечной ячейки условие (1.17) следует заменить условием

$$(1.17a) \quad \xi_c = \infty, \quad \Theta = 1, \quad P = 1.$$

При этом для сведения бесконечной области интегрирования  $\xi_\sigma < \xi < \infty$  к конечной в уравнениях (1.12) проводилась замена переменной  $\xi$  на  $\eta = 1/\xi$ .

Как видно из системы уравнений (1.12), (1.13), начальных и граничных условий (1.14)–(1.16), (1.17a), для случая  $\xi_c = \infty$  в число определяющих параметров не входит начальный радиус частицы. В силу этого безразмерное решение будет автомодельно, т. е. одинаково для всех размеров частиц. Это связано, в частности, и с тем, что в постановке задачи использовалось условие фазового равновесия на межфазовой поверхности  $T_\sigma = T_S(p)$ . Если учесть неравновесную кинетику фазовых переходов, допуская  $T_\sigma \neq T_S(p)$ , то в число определяющих параметров войдет начальный радиус частицы и характерное время кинетики неравновесных фазовых переходов (1.9), определяемое величиной  $F$ .

Расчет проводился на ЭВМ по неявной схеме первого порядка точности для системы капля воды в водяном паре с соответствующими теплофизическими параметрами [2].

**2. Стационарное решение.** Рассмотрен случай, когда сферическая частица помещена в бесконечный объем пара ( $\xi_c = \infty$ ). Радиус ее, несмотря на фазовые переходы, не меняется. Температура внутри частицы поддерживается однородной и постоянной, на бесконечности параметры также сохраняются постоянными. Стационарное решение поставленной задачи можно рассматривать как предел нестационарной задачи при  $\tau \rightarrow \infty$  и сохранении граничных условий. Процессы, проходящие в паре, описыва-

ются системой уравнений (1.12), которые, полагая все производные по времени равными нулю, можно свести к одному уравнению относительно  $\Theta$

$$\begin{aligned} \left( \frac{d\Theta}{d\xi} \right)^2 - \frac{(1-\varepsilon)}{\xi^2} \left( \frac{d\Theta}{d\xi} \right)_{1\sigma} \frac{d\Theta}{d\xi} - \frac{\Theta}{\xi^2} \frac{d}{d\xi} \left( \frac{\xi^2}{\varepsilon} \frac{d\Theta}{d\xi} \right) = 0, \\ U = \frac{d\Theta}{d\xi} - \frac{(1-\varepsilon)}{\xi^2} \left( \frac{d\Theta}{d\xi} \right)_{1\sigma}, \quad \left( \varepsilon = \frac{c_p T_S}{l} \left( 1 - \frac{\rho_{10}}{\rho_{20}} \right) \right), \\ \Theta(1) = \Theta_S, \quad \Theta(\infty) = 1. \end{aligned}$$

В результате интегрирования получим

$$\begin{aligned} (2.1) \quad \Theta = (d_2 e^{-d_1/\xi} - \beta)/d_1, \quad U = d_1 \Theta / \xi^2, \\ d_1 = \ln \left( 1 + \frac{1 - \Theta_S}{\Theta_S} \varepsilon \right), \quad d_2 = d_1 \left( 1 + \frac{1 - \varepsilon}{\varepsilon} \Theta_S \right), \\ (d\Theta/d\xi)_{1\sigma} = d_1 \Theta_S / \varepsilon, \quad \beta = (1 - \varepsilon)(d\Theta/d\xi)_{1\sigma}. \end{aligned}$$

При отсутствии фазовых переходов, когда решение получается при  $l = \infty$ ,  $\varepsilon = 0$ , имеем

$$\Theta = 1 - (1 - \Theta_S)/\xi, \quad U = 0.$$

В рассматриваемой стационарной задаче безразмерный поток тепла на поверхности частицы (число Нуссельта) имеет вид

$$(2.2) \quad \text{Nu}_{st} = 2 \ln [1 + \varepsilon(1 - \Theta_S)/\Theta_S]/\varepsilon(1 - \Theta_S)/\Theta_S.$$

Как правило,  $\varepsilon = c_p T_S/l \ll 1$ , поэтому соотношение (2.2) можно упростить

$$\text{Nu}_{st} = 2 - c_p(T_{10} - T_S)/l.$$

В отсутствие фазовых переходов ( $l = \infty$ ) на поверхности частицы предельное или стационарное число Нуссельта равно 2. В противном случае, когда имеет место испарение или вдув ( $T_{10} > T_S$ ),  $\text{Nu}_{st} < 2$ , а когда имеет место конденсация или отсос ( $T_{10} < T_S$ ),  $\text{Nu}_{st} > 2$  на поверхности сферы постоянного радиуса.

Характерное время изменения размера частицы

$$t_\sigma = 2\rho_{20}r_{\sigma 0}^2 l / 3\lambda_{10} \text{Nu}_{st} \Delta T$$

много больше характерного времени выравнивания температур в газовой фазе  $t_1 = r_\sigma^2/\kappa_1$ , ( $t_1/t_\sigma \simeq 10^{-4}$ ). Поэтому распределение температур (2.1), полученное в предположении, что радиус частицы не меняется, можно рассматривать как соответствующее текущему радиусу  $r_\sigma(t)$ .

Таким образом, решение (2.1) практически описывает квазистационарное поведение системы и при изменении радиуса частицы, происходящем из-за испарения или конденсации. Закон движения границы определяется соотношением

$$dr_\sigma/dt = \lambda_{10} \text{Nu}_{st} (T_{10} - T_S) / 2r_\sigma \rho_2 l.$$

Аналогичное соотношение приведено в работе [3].

**3. Результаты решения.** Просчитывались варианты с различными начальными перепадами температур в фазах и различными отношениями начального радиуса частицы к радиусу ячейки. Для иллюстрации вли-

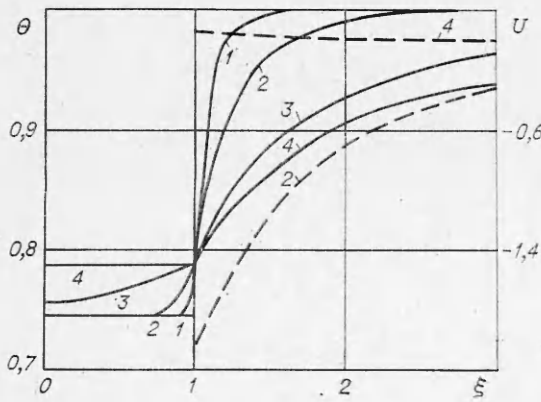
яния фазовых переходов рассматривались случаи с нулевой интенсивностью фазовых переходов.

Рассмотрены три температурных режима при начальном давлении  $p_0 = 1$  бар,  $T_{S0} = 373$  К и двух значениях массового содержания пара  $x_1 = 1$  ( $\alpha_2 = 0$ ) и  $x_1 = 0,1$  ( $\alpha_2 = 0,8 \cdot 10^{-2}$ ):

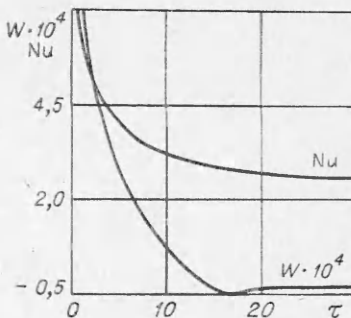
$$\begin{array}{ll} \text{I} & T_{10} = 473 \text{ K}, T_{20} = 353 \text{ K}; \\ \text{II} & T_{10} = 373 \text{ K}, T_{20} = 293 \text{ K}; \\ \text{III} & T_{10} = 473 \text{ K}, T_{20} = 378 \text{ K}. \end{array}$$

На фиг. 1, 2 приведены результаты решения для режима I при  $x_1 = 1$ . Кривые 1—4 (фиг. 1) представляют распределения температур (сплошные линии) и скоростей (штриховые) соответственно в моменты времени  $\tau = -0,01; 0,5; 10; \infty$ . Давление и температура поверхности частицы, определяемая условием равновесия фаз, сохраняются постоянными. При  $\tau \rightarrow \infty$  кривые температур и скоростей стремятся к предельным или к квазистационарным конфигурациям (2.1), линейный масштаб в которых определяется текущим размером частицы  $r_\sigma(t)$ , а  $Nu \rightarrow Nu_{st}$ . Причем в газовой фазе предельное распределение температур достигается к моменту  $\tau > 10$ . В частице однородный профиль устанавливается позже при  $\tau > 10\kappa_{10}/\kappa_2$  в силу того, что  $\kappa_{10} > \kappa_2$ . В каждый момент времени распределения температур и скоростей монотонны. В отсутствие фазовых переходов скорость имеет экстремум, который со временем смещается от частицы. На фиг. 2 показано изменение числа Нуссельта (безразмерный поток тепла в частицу) и безразмерной скорости фазового перехода  $W = J/\delta_2$ . В рассматриваемом случае происходит полное испарение частицы, но ему вначале предшествует конденсация пара. Это связано с тем, что во времена  $t \ll r_{00}^2/\kappa_2$  прогревается только узкий слой в частице у ее поверхности. Это приводит к появлению больших градиентов температур в частице, так что  $LJ = -\Lambda_{10}(\partial\Theta/\partial\xi)_{10} - \Lambda_2(\partial\Theta/\partial\xi)_{20} < 0$ . При  $\tau > 40$  температурный профиль внутри частицы становится более пологим, конденсация сменяется испарением.

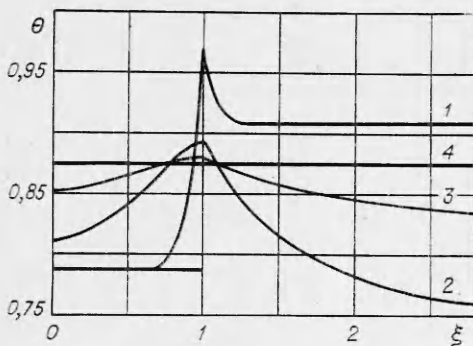
В случаях, когда частица помещена в конечный объем пара, решение существенно меняется. Основное отличие состоит в том, что давление в паре со временем меняется. При наличии фазовых переходов температура поверхности также меняется в соответствии с условием равновесия  $T_\sigma = -T_S(p)$ . На фиг. 3, 4 показаны изменения безразмерных температуры, давления, интенсивности фазовых переходов для режима II при  $x_1 = 0,1$ .



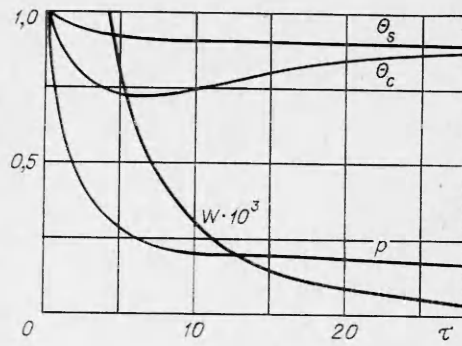
Фиг. 1



Фиг. 2



Ф и г. 3

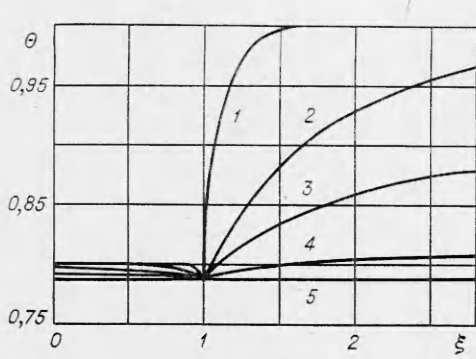


Ф и г. 4

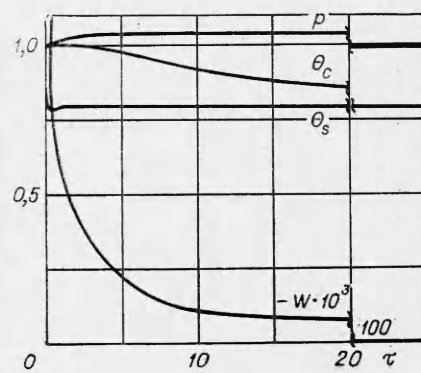
$(\alpha_2 = 0.8 \cdot 10^{-2})$ . Конденсация пара приводит к расширению остающейся массы пара, вследствие чего происходит его существенное охлаждение, которое сначала не может быть компенсировано теплом, выделяющимся при конденсации (фиг. 3, где кривые 1—4 соответствуют моментам времени  $\tau = 0,5; 10; 20; \infty$ ). Температура на границе ячейки опускается до 269 К (фиг. 4). В дальнейшем тепло, выделяющееся при конденсации, нагревает пар. Температуры частицы и пара при  $\tau \rightarrow \infty$  выравниваются, и процесс асимптотически прекращается. Распределение температур и скоростей в каждый момент времени монотонно. В данном случае получено значительное понижение давления (примерно в пять раз) за время порядка  $r_{60}^2/x_{10}$  (см. фиг. 4), что свидетельствует об эффективности даже малого по объему впрыска холодных капель в пар при аварийном повышении давления.

В отсутствие фазовых переходов при  $x_1 < 1$  и  $T_{10} > T_{20}$  давление пара также понижается, но уже только за счет его охлаждения вследствие теплопроводности.

На фиг. 5, 6 приведено решение для режима III при  $x_1 = 0,1$  ( $\alpha_2 = 0.8 \cdot 10^{-2}$ ). В системе происходит испарение частицы. Температурные кривые 1—5 на фиг. 5 соответствуют моментам времени  $\tau = 0,01; 2; 15; 50; \infty$ . Давление в системе растет от  $p_0 = 1$  до  $p = 1,03$  бар, а затем понижается до  $p = 0,98$  бар. Это понижение давления связано с тем, что фазовый переход практически прекращается, а теплообмен еще имеет место (см. фиг. 6). Отметим, что при  $x_1 < 1$  конденсация не всегда сменяется испарением в режиме I.



Ф и г. 5



Ф и г. 6

Во всех рассмотренных вариантах размер частицы  $r_\sigma$  менялся мало. В случае  $x_1 = 1$  (бесконечный объем пара) это связано с тем, что расчеты велись до выхода на квазистационарный режим. Для описания дальнейшего поведения системы, как уже указывалось, можно использовать стационарное решение (2.1).

В «ячеичной» постановке малое изменение радиуса к моменту установления равновесия является следствием того, что рассматривались варианты с малым массовым содержанием пара в ячейке  $x_1 = 0,1$ .

*Поступила 21 VI 1976*

#### ЛИТЕРАТУРА

1. Нигматулин Р. И., Хабеев Н. С. Теплообмен газового пузырька с жидкостью.— «Изв. АН СССР. МЖГ», 1974, № 5.
2. Вукалович М. П. Таблицы термодинамических свойств воды и водяного пара. М.—Л., «Энергия», 1965.
3. Вильямс Ф. А. Теория горения. М., «Наука», 1971.

УДК 532.5.013.2+534.222.2

### ДИНАМИКА ЦИЛИНДРИЧЕСКОЙ ПОЛОСТИ В СЖИМАЕМОЙ ЖИДКОСТИ

*B. K. Кедринский, B. T. Кузавов*

(*Новосибирск*)

Уравнение одномерной пульсации цилиндрической полости в сжимаемой жидкости было получено в [1, 2] в рамках приближенной теории Кирквуда—Бете [3], основанной на аппроксимации функцией  $G = r^{1/2} \Omega$  инварианта, распространяющегося вдоль характеристики со скоростью  $c + u$ , где  $\Omega = \omega + u^2/2$  — кинетическая энталпия;  $\omega = \int dp/\rho$  — энталпия;  $u$  — скорость частицы жидкости;  $r$  — координата;  $c$  — местная скорость звука.

При выводе этого уравнения было использовано условие для  $G$

$$(1) \quad \frac{\partial}{\partial t} [r^{1/2} (\omega + u^2/2)] = -(c + u) \frac{\partial}{\partial r} [r^{1/2} (\omega + u^2/2)]$$

и уравнения неразрывности и сохранения импульса, на основании которых производилась замена частных производных на полные в (1) [2]. Уравнение пульсации полости получено в следующем виде (полагаем  $r = R$ ,  $u = dR/dt$ ):

$$(2) \quad R [1 - (dR/dt)/c] d^2 R / dt^2 + (3/4)(dR/dt)^2 [1 - (dR/dt)/3c] = \omega [1 + (dR/dt)/c]/2 + R(d\omega/dt) [1 - (dR/dt)/c]/c,$$

где  $R$  — радиус полости;  $t$  — время. Значение энталпии  $\omega$  на стенке полости со стороны жидкости определяется на основании уравнения Тэта [3] в виде

$$\omega = \frac{nB}{(n-1)\rho_0} \left[ \left( 1 + \frac{p(R) - p_\infty}{B} \right)^{1-1/n} - 1 \right],$$